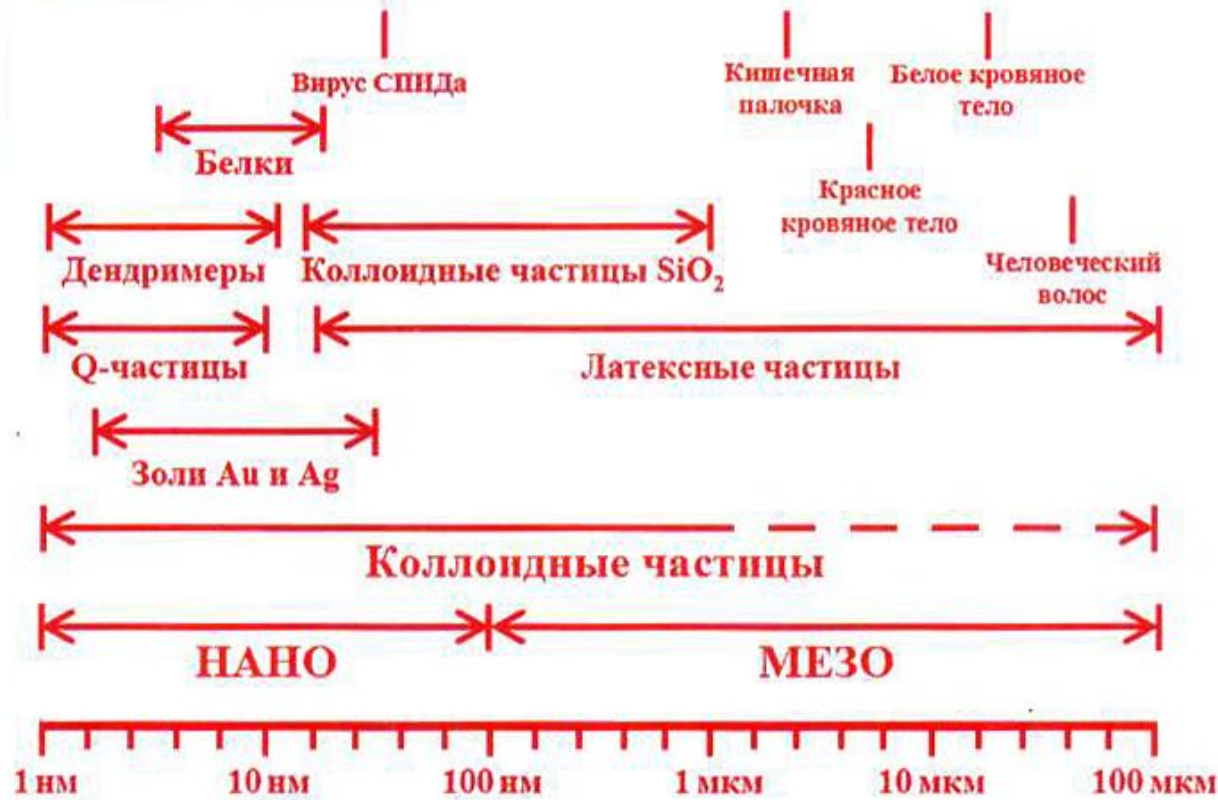


Наночастицы металлов.

*Опыт и перспективы применения в
фармакологии и в клеточных
биотехнологиях.*

Кузнецов Дмитрий
Анатольевич
*кафедра медицинских
нанобиотехнологий МБФ
РГМУ*



Некоторые коллоидные системы и характеристические размеры распространенных биологических объектов. На данной диаграмме диапазон размеров коллоидных частиц существенно расширен за счет полимерных (латексных) частиц, обладающих низкой плотностью. Адаптировано на основе Microscopy & Histology Catalog, Polysciences, Warrington, PA 1993–1994

“VIOLATION” OVER THE FUNDAMENTAL PHYSICAL LAWS IN “NANOWORLD”

- ① Ohm Law doesn't work.**
- ② Superconductivity at mild conditions: Carbon Nanotubes.**
- ③ Superparamagnetism in MeO nanoclusters: $\theta=f(\emptyset)\dots\text{Fe}_2\text{O}_3, \text{MoO}, \dots$**
- ④ Metal melting point “nanoshift”: Ag, Au, Pt, Pd, Ir, ...**
- ⑤ Hormesis: Me/MeO nanosize-dependent paradoxical effects on enzyme activity.**

Limerick Glossary on Nanopharmacology

“MEDICINAL NANOPARTICLES”

Mandatory Criteria:

① 1.0 – 100 nm size range.

② $R = f(E)$, size matters

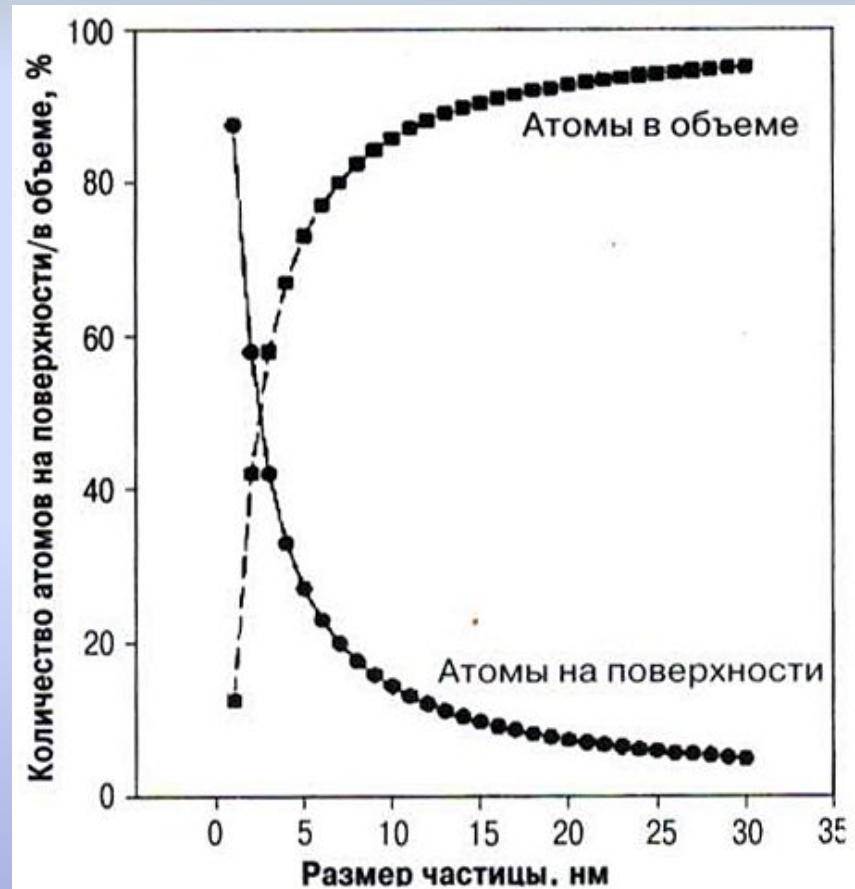


③ Zero or low metabolic rate.

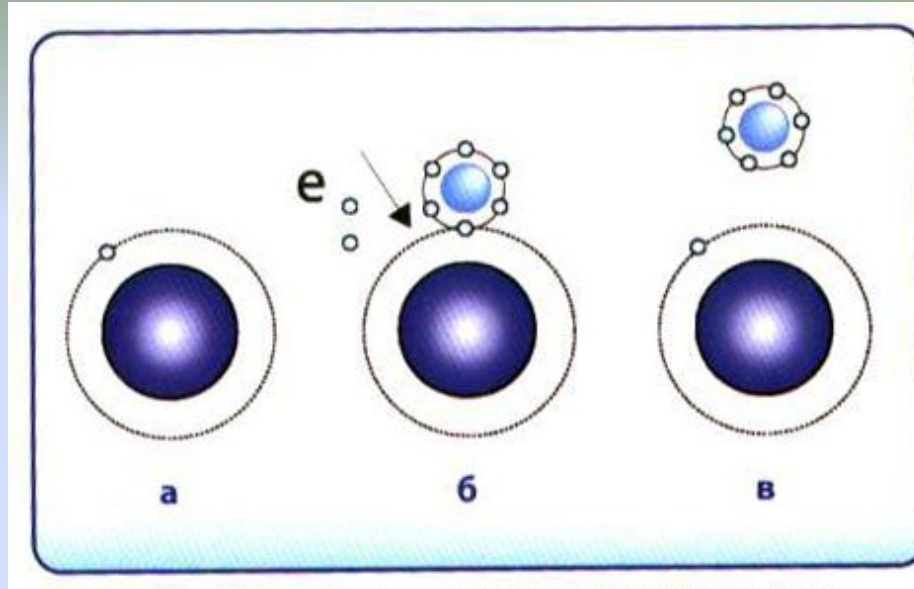
④ “Smart behavior”.

Effect reversibility/ homeostasis dependence.

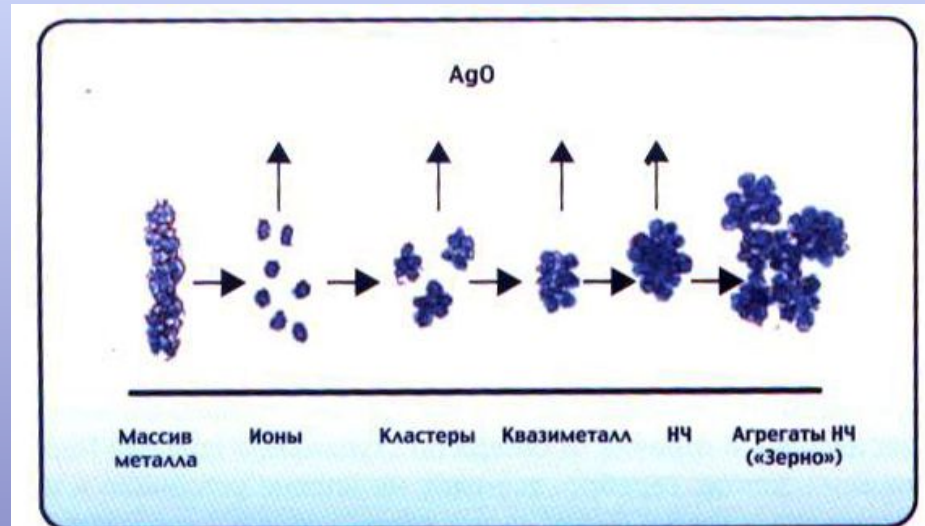
⑤ Cluster – surface diffusion effects*.



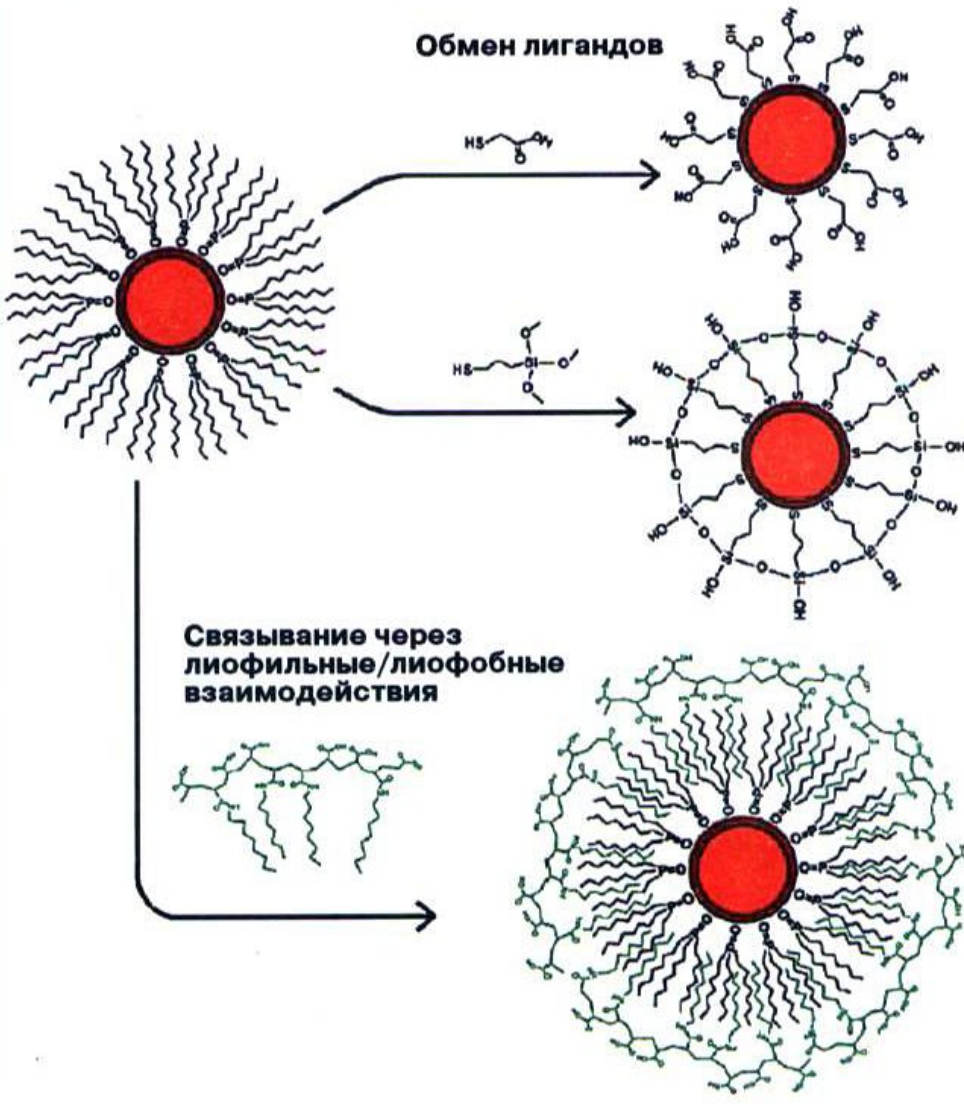
Доля «поверхностных» и «объемных» атомов
в наноматериалах

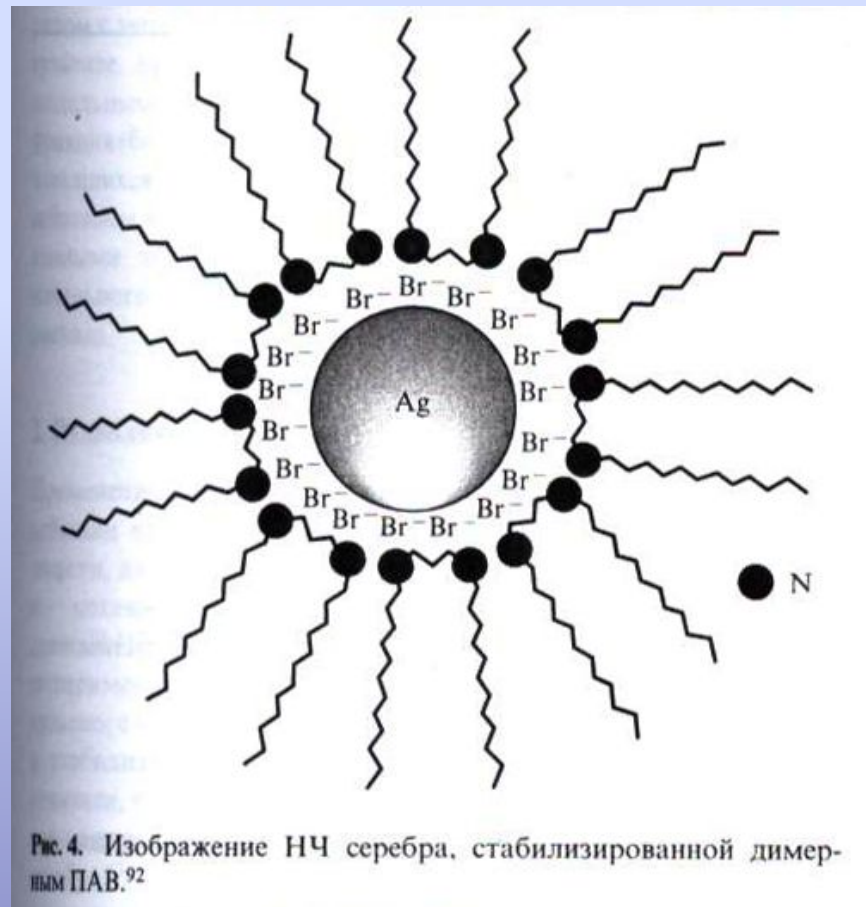


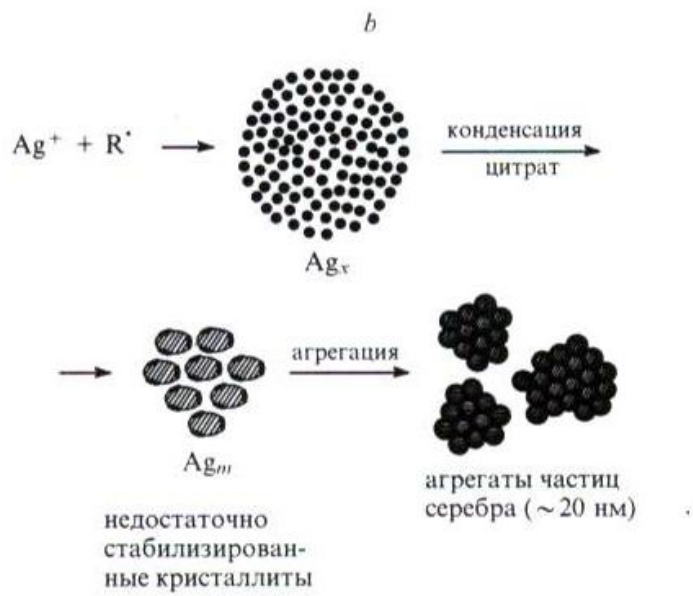
Схематическая структура атома серебра:
электрон на его внешней оболочке (а) легко взаимодействует
с внешними объектами (б) или восстанавливается на своей
орбите вновь (в).



Превращения атома серебра в процессе электролиза.







Механизмы роста НЧ серебра, стабилизированных цитрат-анионом (см. текст).¹⁴

Ag_x — кластеры серебра (< 1 нм), Ag_m — первичные частицы, стабилизированные цитратом (~ 1 нм), Ag_n — конечные частицы, R' — восстанавливающие радикалы.

Концентрация цитрата $5 \cdot 10^{-5}$ или $1.5 \cdot 10^{-3}$ моль·л⁻¹ (*a*), $5 \cdot 10^{-4}$ моль·л⁻¹ (*b*).

**Нарушение
осмотического
равновесия плазмы**
K. Tornly a.N. Wilson, 1955,
J. Abramson a.coll., 1983,
Ф.Г. Рутберг с сотр., 2001.

**Связывание
групп SH,
COOH**
I.F. Braune and coll., 1957.

Окислительная теория
F. Wernike, 1921,
K. Herzberg, 1923,
E. Underwood, 1979.

Повреждение ферментов
A. Gusso and M. Cironi, 1927,
Г.Н. Першин, 1952,
Т.М. Трутнев, 1951.

Адсорбционная теория
K. Supfle, 1930,
N. Leitner, 1930,
F. Jakob and J. Monod, 1961,
П.Ф. Кнафельман, 1947.

**Синтез хлорной
кислоты**
I. Orzechowski und
D. Stolc, 1947.

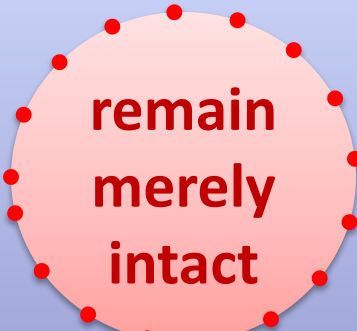
**«Олигодинамическое»
действие солей тяжелых
металлов**
K. Nageli, 1893,
W. Beyer, 1934,
A. Goetz a.coll., 1940.

Ионная теория
Л.А. Кульский, 1931,
П.Е. Ермолаев, 1934,
Е.А. Плевако, 1934.

Ag-NPs: PHARMACOKINETICS RELATED ADVANTAGES FOR Biologically Active Peptides (BAP)

- $T_{1/2}/T_0$ Modulation.
- BBB Permeability to Increase.
- Spectrofluorimetric tracing (no IFP – NMR needed).

• Analgetic effects



Behavioral effects

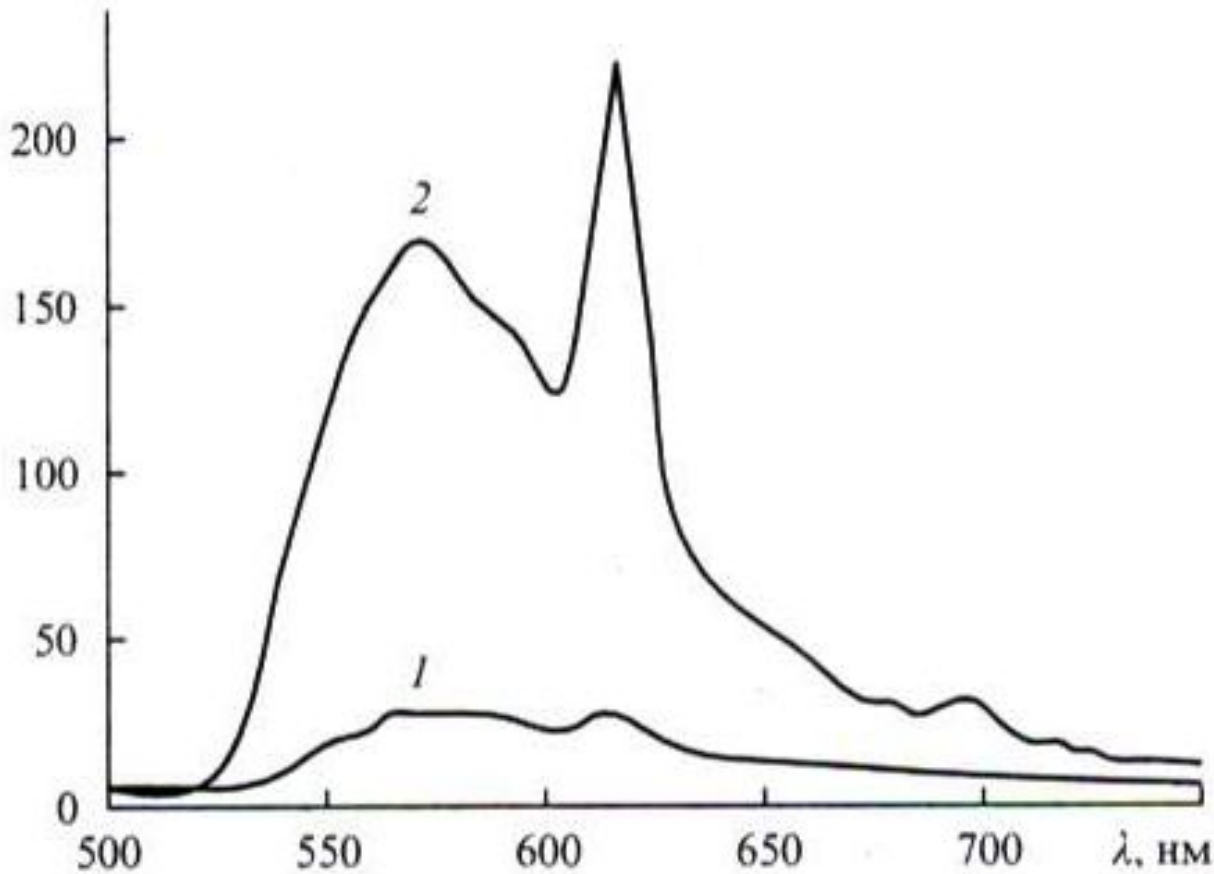


CAF effects

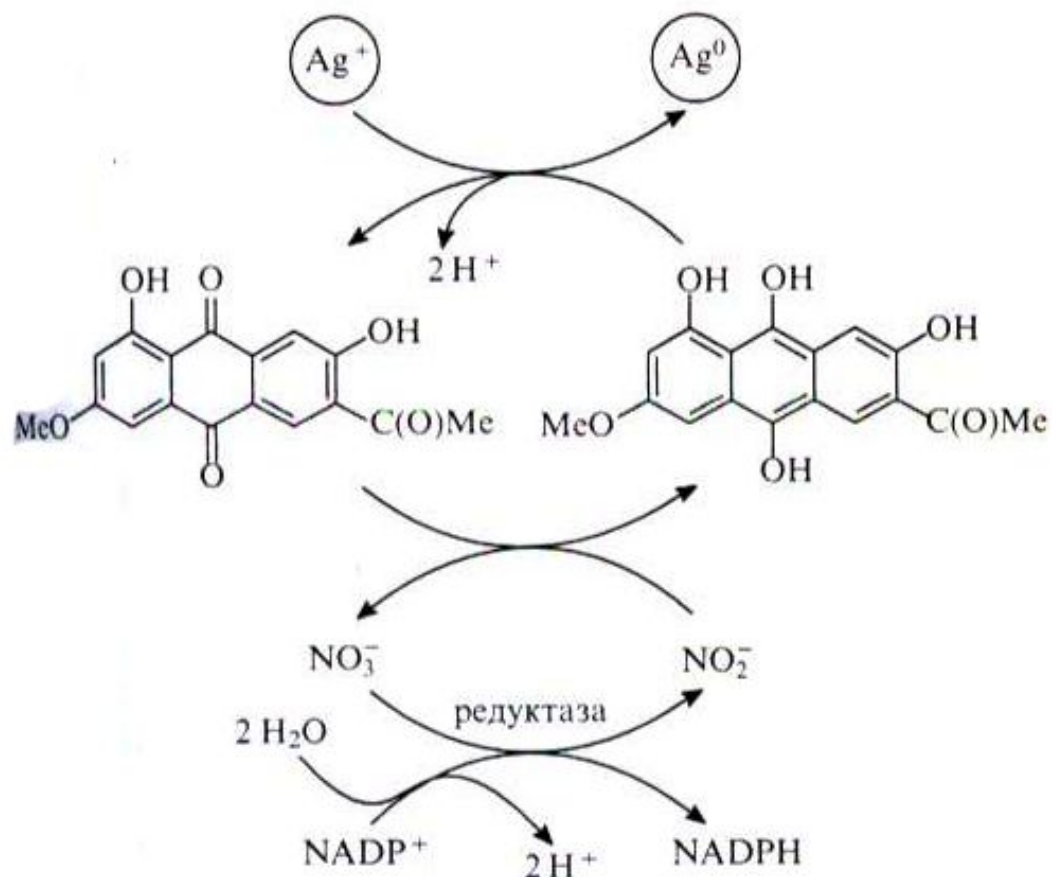


- BAP primary structure doesn't make any difference.

I , отн. ед.

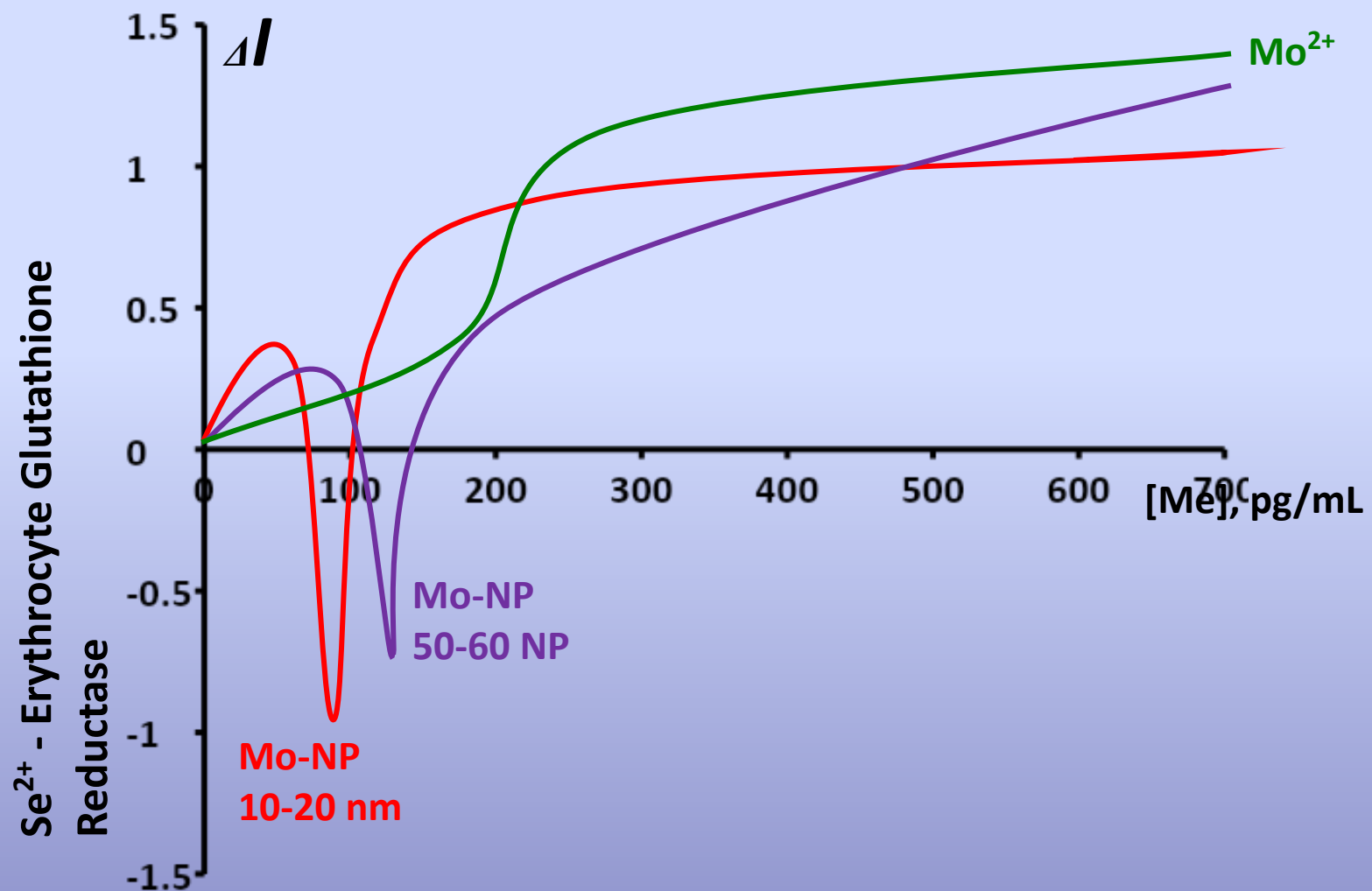


Спектры флуоресценции комплекса EuCl_3 с тетрациклином, нанесенного на стеклянную подложку (1) и подложку, покрытую серебряной пленкой толщиной 30 нм (2).²³¹

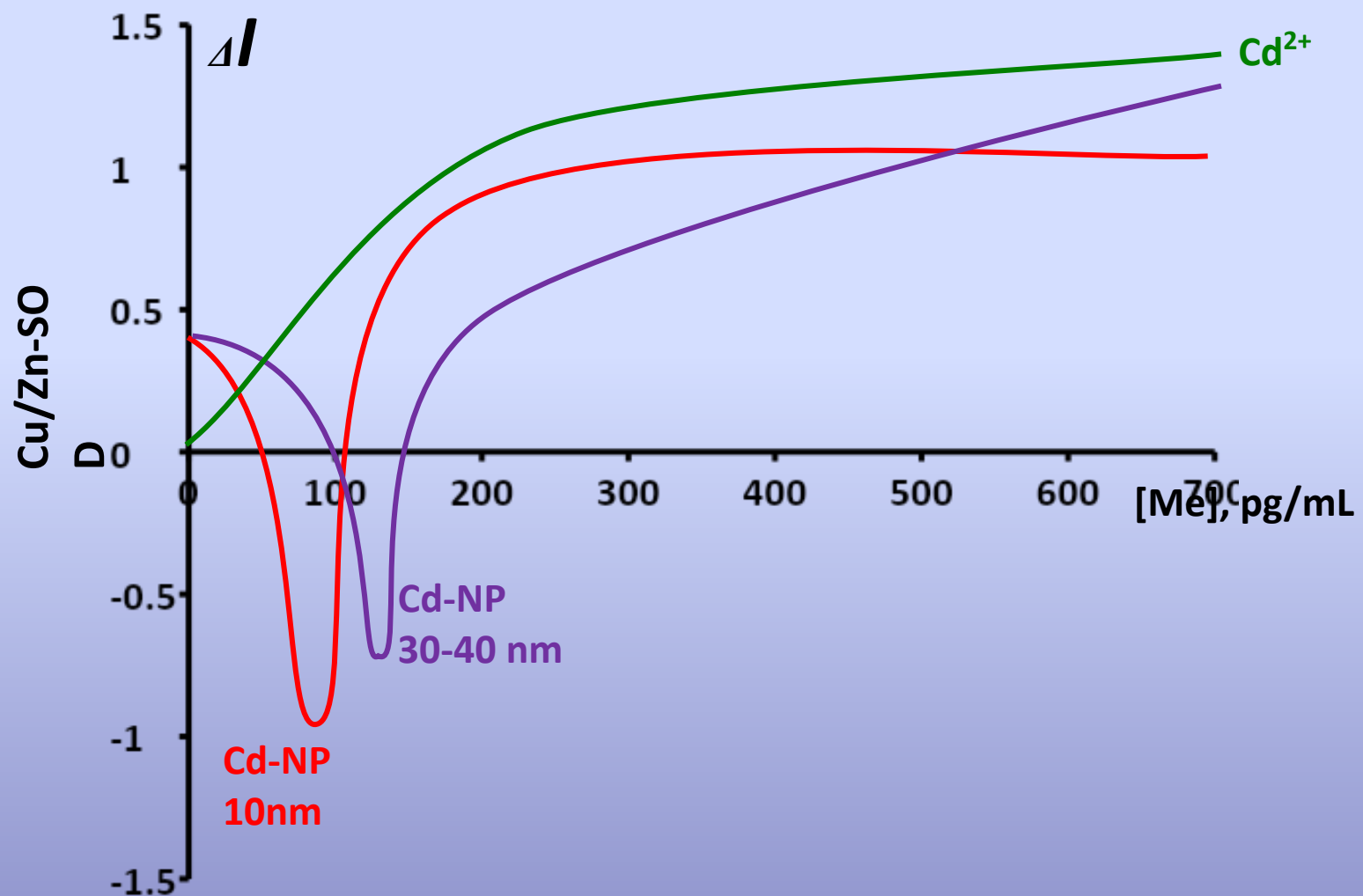


Вероятный механизм внеклеточного восстановления ионов серебра штаммом гриба *Fusarium oxysporum*.¹⁶⁸

Waugh-Rattenau rule

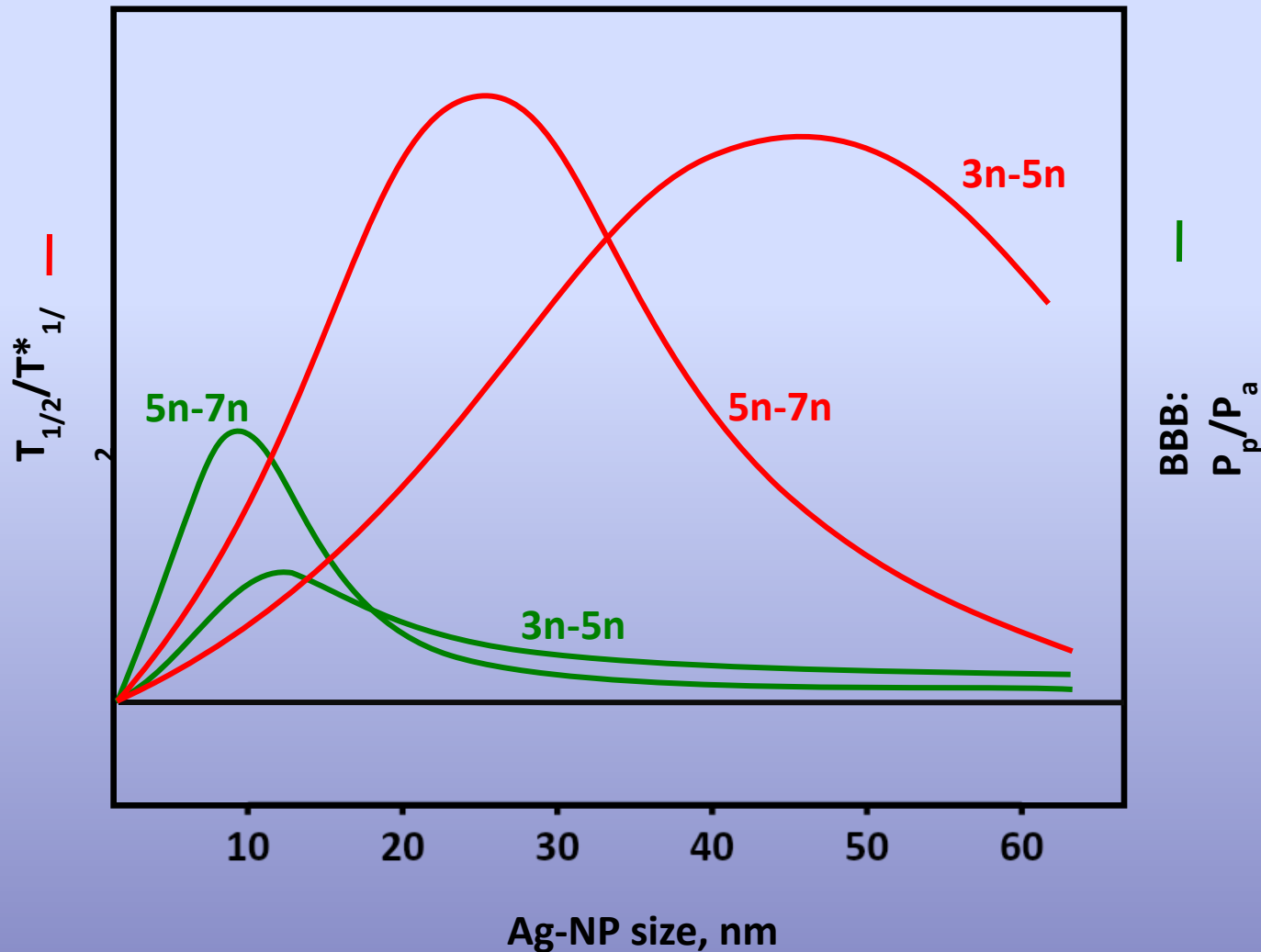


Waugh-Rattenau rule



The Delbreaux-Brachet Rule

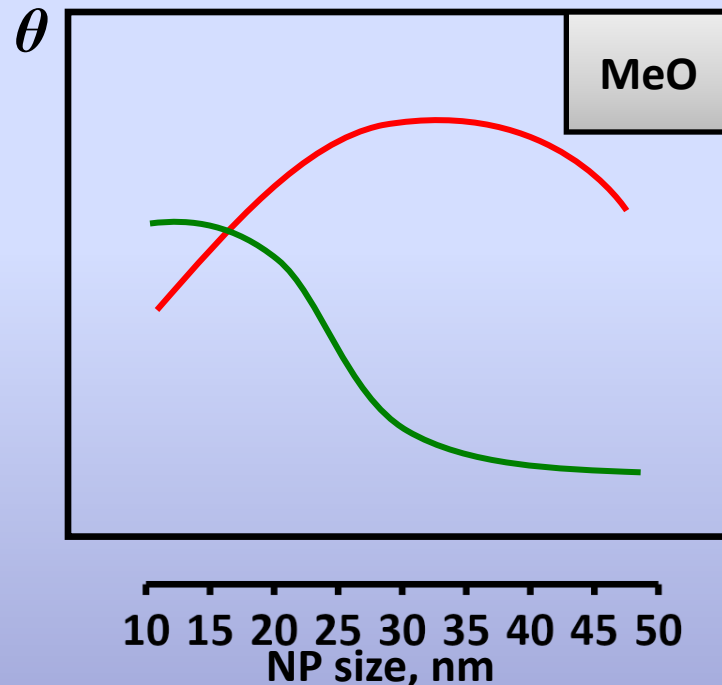
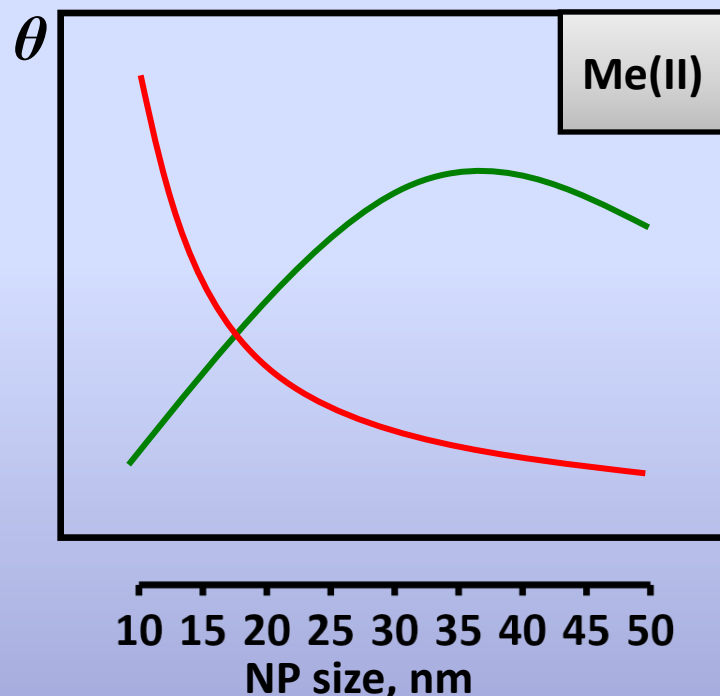
key regularity integral chart



Ukena – Thiele Effects

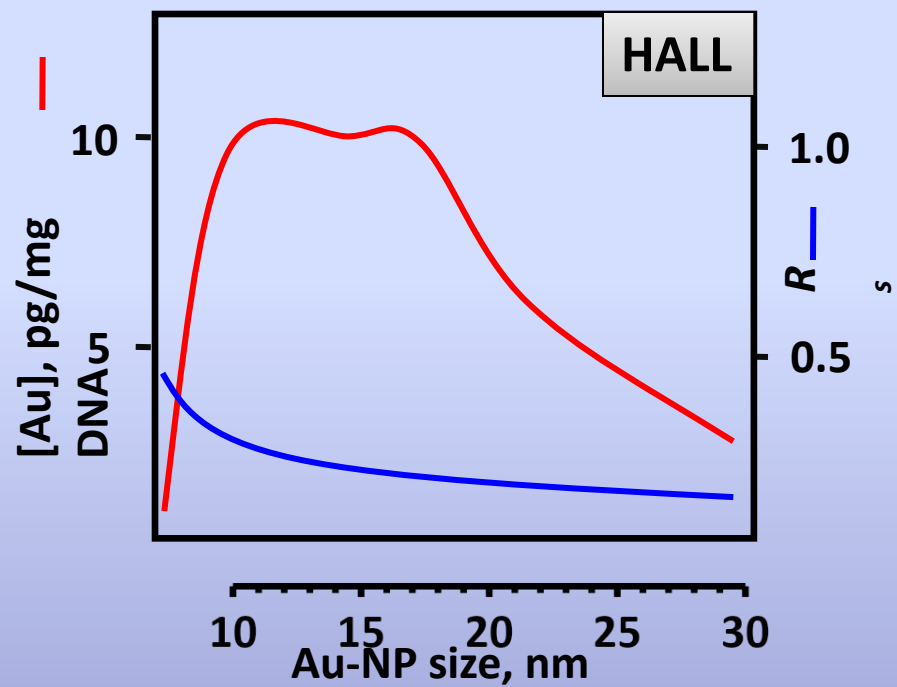
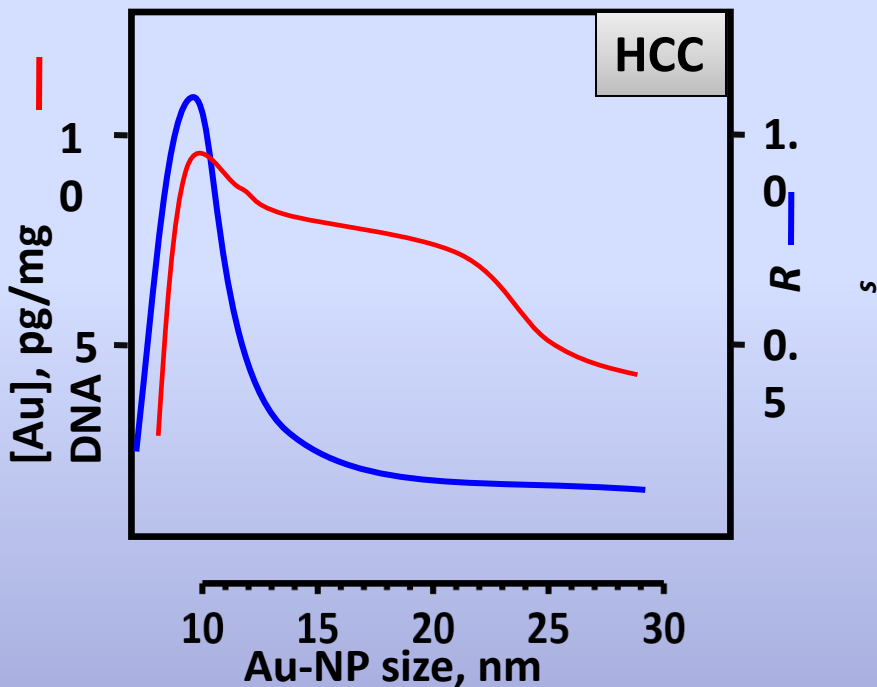
The “alloy-ion” border diffusion

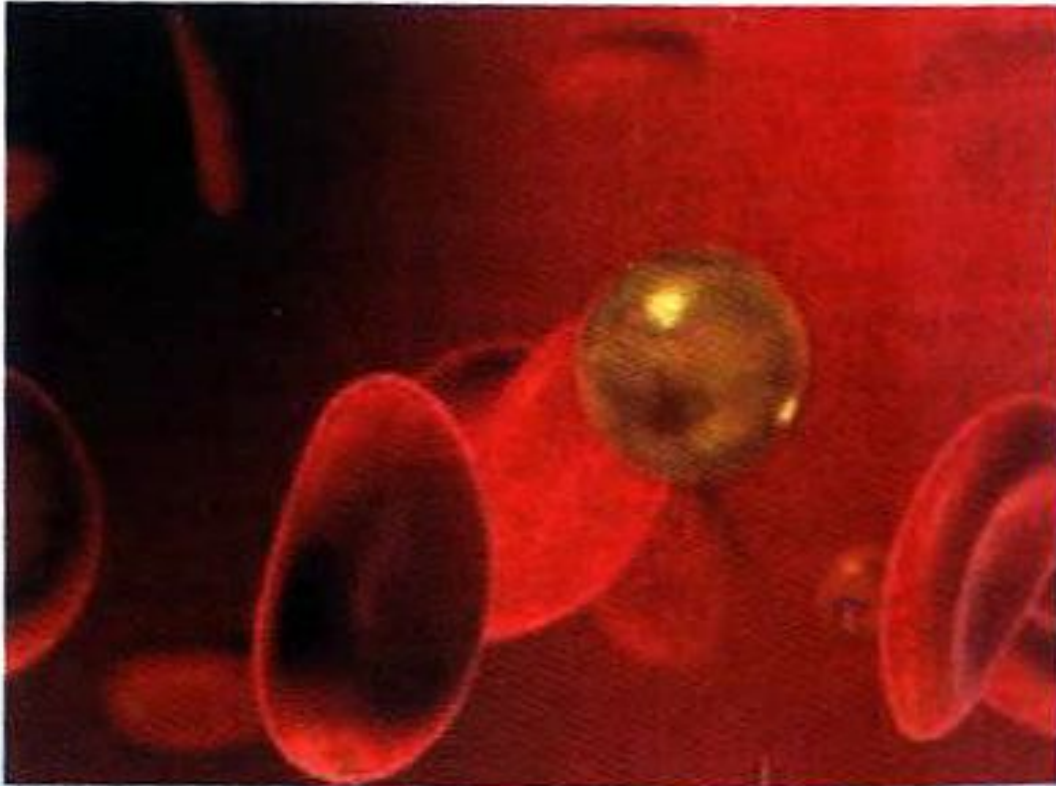
Cs, Cd, Co, Mo, Fe, Zn, Cr, Cu, Mn, Mg



— polar media
— non-polar media

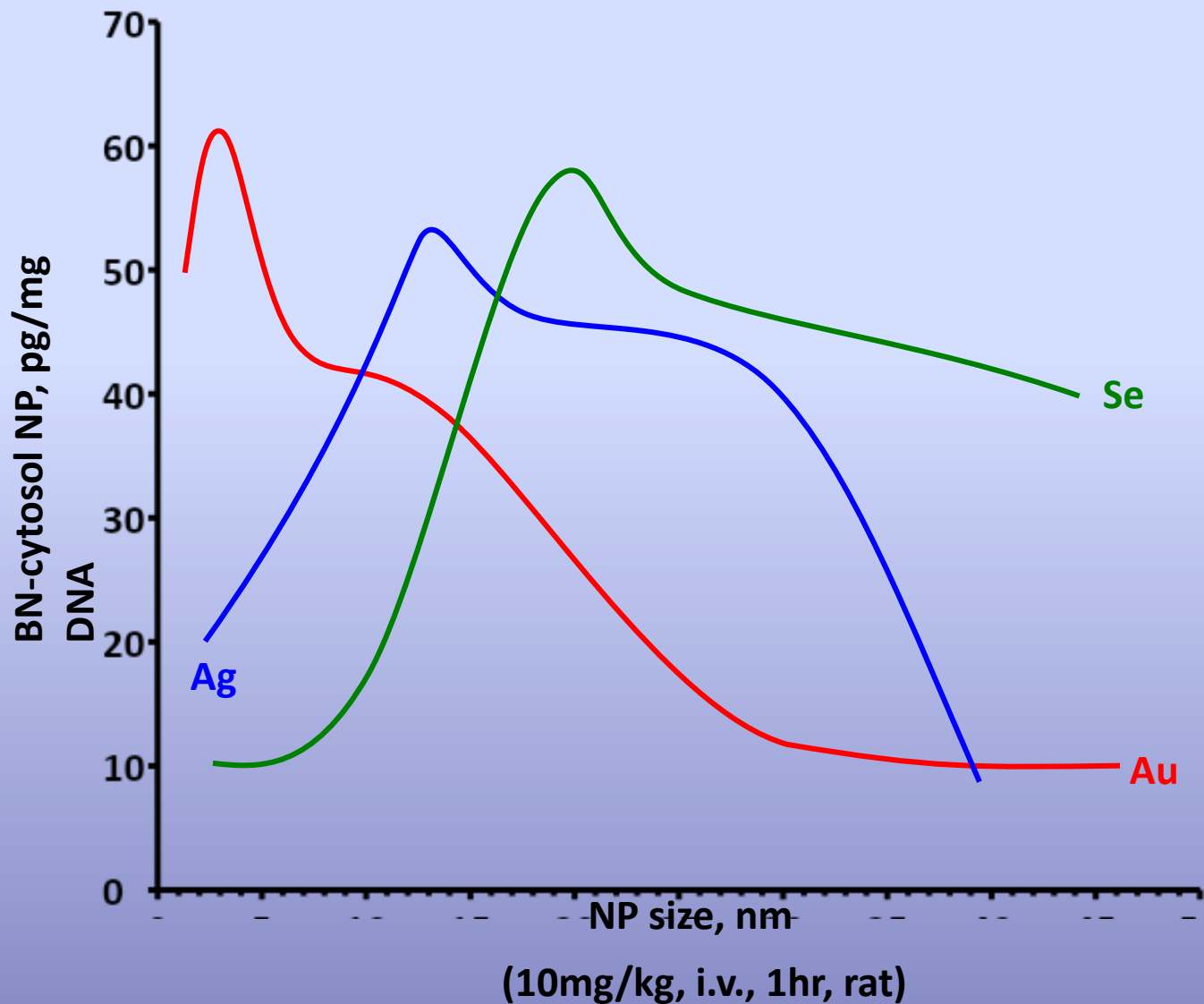
TUMOR-SPECIFIC CYTOSTATIC EFFECT: Au-NPs

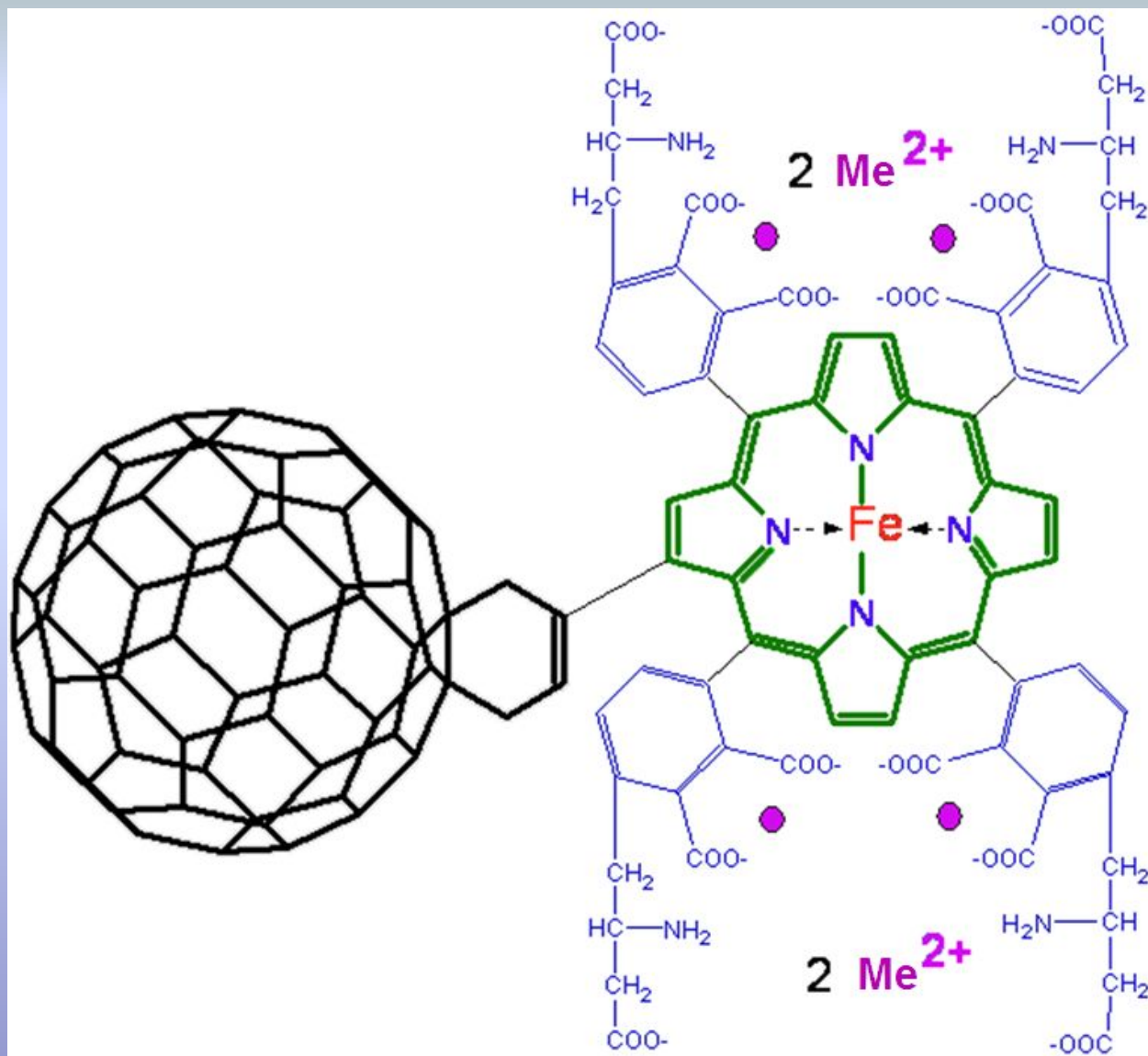


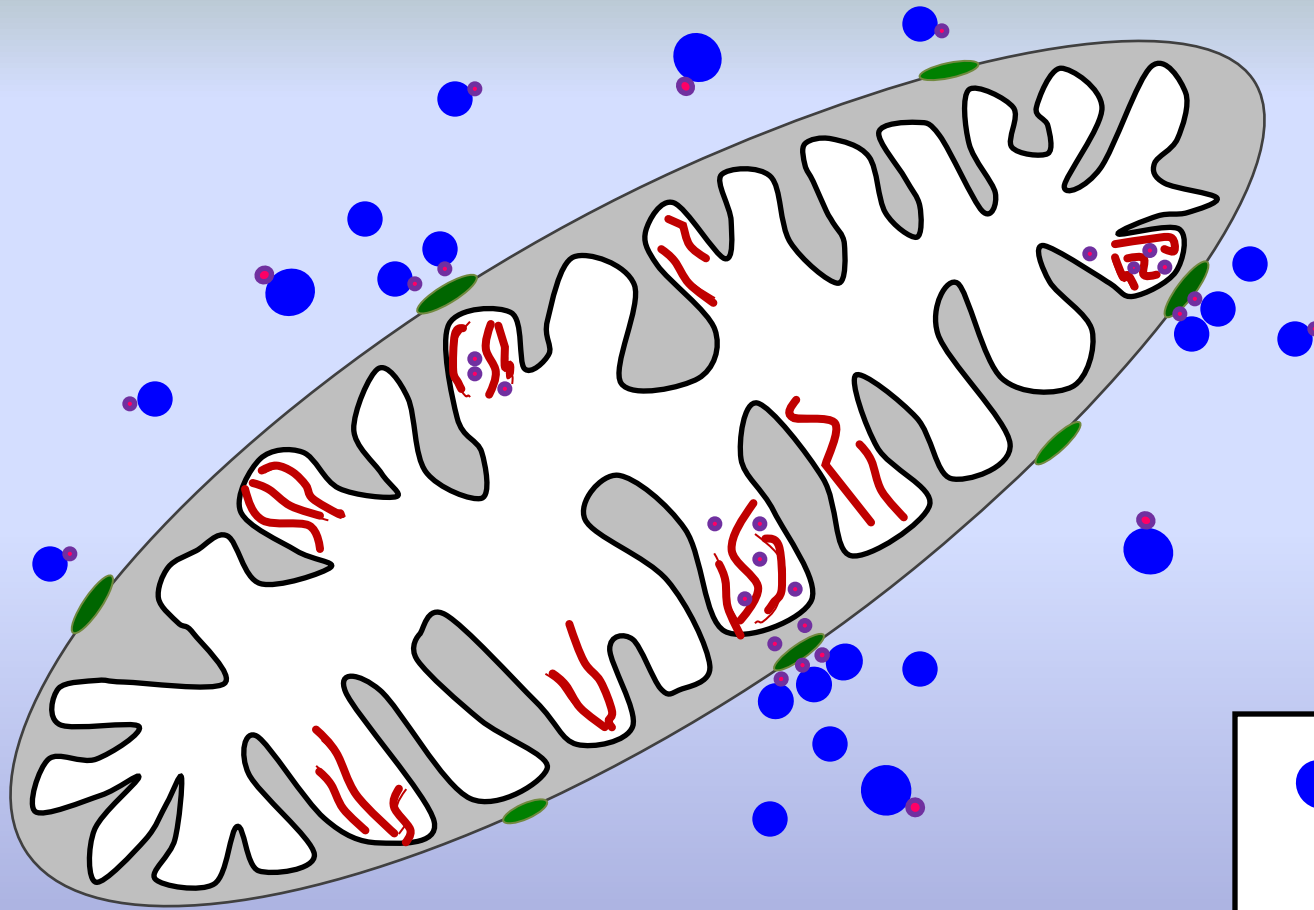


Крупная, покрытая золотом наносфера в токе крови
(рисунок с сайта Alliancefor Nanohealth).

BBB Permeability

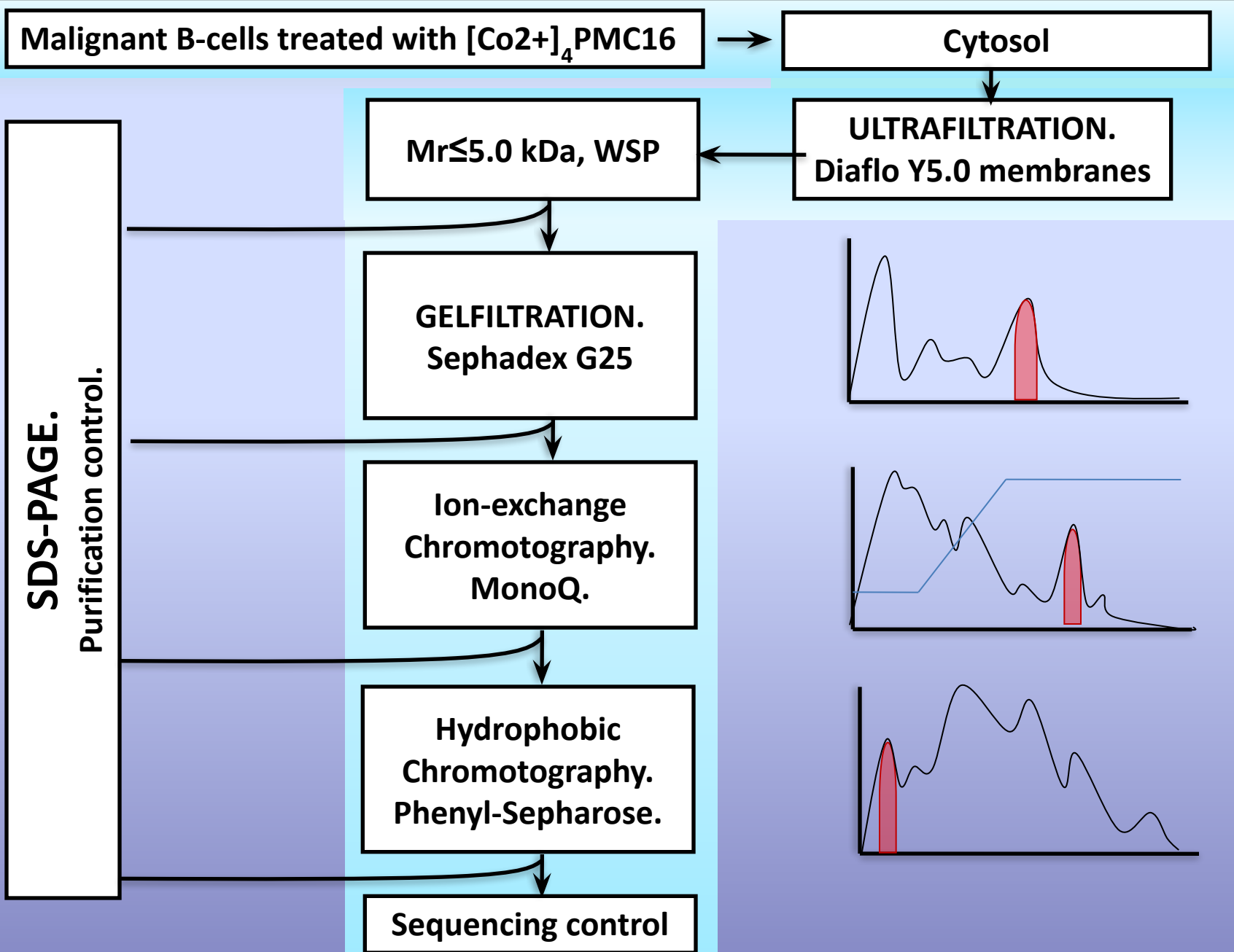




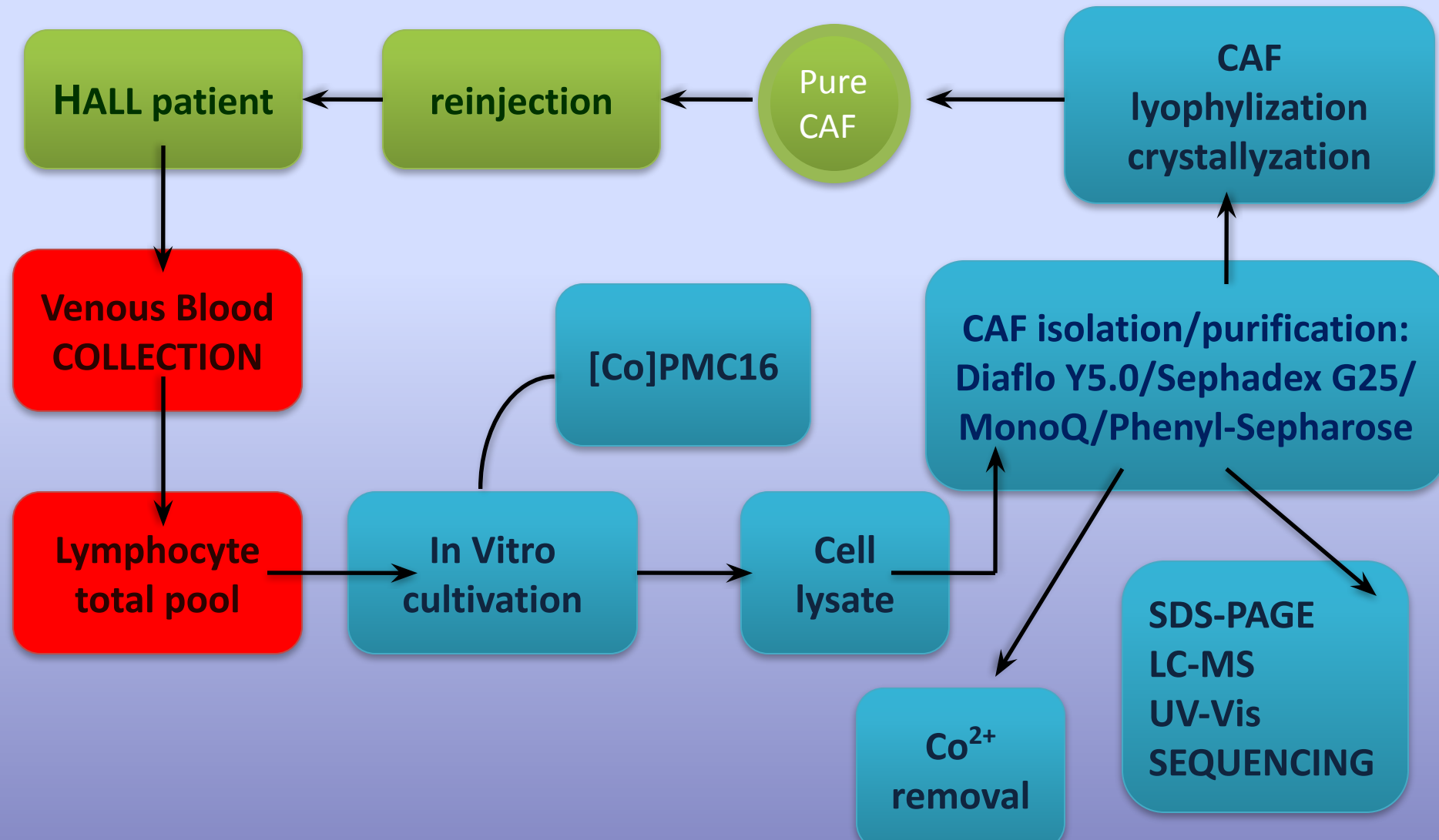


- [Co]PMC16
- Co^{2+}
- polysomes
- crista
- RcPMC16

TECHNOLOGICAL CASCADE OF THE CAF ISOLATION/PURIFICATION



CAF[Co]PMC16 Nanobiotechnology for the HALL Patients Autohematotherapy



CAF HOMOLOGY PATTERN

- | | |
|-----|--|
| 1. | Asp – Glu – Val – ^{Ph}
e – Trp – Phe – Asp |
| 2. | Asp – Glu – Val – Trp – Trp – Phe – Asp |
| 3. | Asp – Glu – Val – ^{Ph}
e – Tyr – Phe – Asp |
| 4. | Asp – Glu – Leu – ^{Ph}
e – Trp – Phe – Asp |
| 5. | Asp – Glu – Leu – ^{Ph}
e – Trp – Phe – Asp |
| 6. | Asp – Glu – Val – Iso – Trp – Phe – Asp |
| 7. | Asp – Glu – Trp – ^{Ph}
e – Trp – Phe – Asp |
| 8. | Asp – Glu – Val – Tyr – Trp – Phe – Asp |
| 9. | Asp – Glu – Val – Trp – Iso – Phe – Asp |
| 10. | Asp – Glu – Sep – ^{Ph}
e – Trp – Phe – Asp |
| 11. | Asp – Glu – Val – Asp – Trp – Phe – Asp |
| 12. | Asp – Glu – Typ – ^{Ph}
e – Trp – Phe – Asp |
| 13. | Asp – Glu – Val – His – Trp – Phe – Asp |

KEY REASONS FOR A CONCLUSION ON THE MITOCHONDRIAL ABORTIVE TRANSLATION ORIGIN OF THE CAF

- Known Co²⁺-promoted AT effect.
- Assymmetrical compartmentization of protein synthesis machinery in mitochondria.
- Pure Co²⁺/Co-free PMC16 effects on mitochondria translation in vitro.
- No CAF production in matured cells.

- ① Porphyrin-signalling domains in mitochondria membranes: rare abundance, non-random distribution (compartmentization).
- ① CAF-producing “pockets” in mitochondria.
- ① CAF/Mt-matrix proteins homology.
- ① Other than Co²⁺ -directed AT effect studies: does CAF could be induced by another type of AT promoters?

МЕТОДЫ ОЦЕНКИ БИОБЕЗОПАСНОСТИ НАНОЧАСТИЦ IN VITRO

1. ВЛИЯНИЕ НАНОЧАСТИЦ НА АГРЕГАЦИЮ МОДЕЛЬНЫХ БЕЛКОВ-СУБСТРАТОВ



МЕТОДЫ, ИСПОЛЬЗУЕМЫЕ ДЛЯ ОЦЕНКИ ВЗАИМОДЕЙСТВИЯ НАНОЧАСТИЦ С БЕЛКАМИ

1. Прямое и динамическое лазерное светорассеяние
2. Гельхроматография
3. Флуоресцентная спектроскопия

2. ВЛИЯНИЕ НАНОЧАСТИЦ НА ЗАЩИТНЫЕ СИСТЕМЫ КЛЕТКИ НА ПРИМЕРЕ МАЛЫХ БЕЛКОВ ТЕПЛОВОГО ШОКА (sHSP)

